

**К 85-ЛЕТИЮ  
ДМИТРИЯ СЕРГЕЕВИЧА ЛУКИНА**

УДК 537.874.6

**ФРЕНЕЛЕВСКИЕ ПЕРЕХОДНЫЕ ЗОНЫ**

© 2023 г. Е. А. Злобина<sup>a, \*</sup>, А. П. Киселев<sup>a, b, c</sup>

<sup>a</sup> Санкт-Петербургский государственный университет,  
Университетская наб., 7-9, Санкт-Петербург, 199034 Российская Федерация

<sup>b</sup> Санкт-Петербургское отделение Математического института им. В.А. Стеклова РАН,  
наб. р. Фонтанки, 27, Санкт-Петербург, 191023 Российская Федерация

<sup>c</sup> Институт проблем машиноведения РАН,  
Большой проспект В.О., 61, Санкт-Петербург, 199178 Российская Федерация

\*E-mail: ezlobina2@yandex.ru

Поступила в редакцию 02.03.2023 г.

После доработки 02.03.2023 г.

Принята к публикации 27.03.2023 г.

Построено семейство точных решений двумерного уравнения Гельмгольца, удобных для описания поля в переходных зонах, возникающих при дифракции Френеля. В качестве примеров рассмотрены, помимо дифракции на клине, высокочастотные асимптотики поля в задачах дифракции на контурах с негладкой кривизной.

**DOI:** 10.31857/S0033849423060190, **EDN:** XOKFIU

### 1. ПОСТАНОВКА ЗАДАЧИ

Понятие о дифракции Френеля, восходящее к началу XIX в., возникло при рассмотрении волнового поля в задаче о падении плоской волны на плоский экран в высокочастотном приближении, т.е. на больших по сравнению с длиной волны расстояниях  $r$  от кромки:

$$kr \gg 1, \quad (1)$$

где  $k$  – волновое число. В классических работах (см., например, [1, 2]) речь шла об описании слияния плоской волны с дифрагированной кромкой цилиндрической волной в окрестности предельного луча (рис. 1а) – там, где они имеют близкие фазы и физически неразличимы. Математическое описание этого волнового процесса двумерным уравнением Гельмгольца<sup>1</sup> с волновым числом  $k$

$$\frac{\partial^2 u}{\partial x^2} + \frac{\partial^2 u}{\partial y^2} + k^2 u = 0 \quad (2)$$

приводит к выражению [2–4]

$$u = \exp(ikx) \Phi(Z) \quad (3)$$

со знаменитым интегралом Френеля

$$\Phi(A) = \frac{\exp(-i\pi/4)}{\sqrt{\pi}} \int_{-\infty}^A \exp(ip^2) dp. \quad (4)$$

Выражение (3) является точным решением уравнения (2) и, соответственно, дает равномерное по углу  $\varphi$  описание поля (мы пользуемся полярными координатами  $x = r \cos\varphi$ ,  $y = r \sin\varphi$ ). Аргумент интеграла Френеля в (3) равен корню из разности фаз дифрагированной цилиндрической волны  $kr$ , расходящейся из начала координат, и падающей волны  $kx$ :

$$Z = \sqrt{kr - kx} = \sqrt{2kr} \sin(\varphi/2). \quad (5)$$

В переходной зоне вокруг предельного луча, которая описывается неравенством

$$kr\varphi^4 \ll 1, \quad (6)$$

эти волны сливаются. В переходной зоне разность их фаз имеет вид  $k(r - x) = kr\varphi^2/2 + O(kr\varphi^4)$ , и поэтому допустимо часто используемое приближение

$$Z \approx z = \sqrt{kr/2} \varphi, \quad (7)$$

дающее удобную неравномерную асимптотику поля вблизи предельного луча. При удалении от предельного луча, в области, где  $|z| \gg 1$ , т.е.

$$kr\varphi^2 \gg 1, \quad (8)$$

интеграл Френеля допускает асимптотическое представление (см., например, [3]). Ниже пре-

<sup>1</sup> При интерпретации математических выражений для волновых полей предполагается их гармоническая зависимость от времени по закону  $\exp(-i\omega t)$ , где  $t$  – время,  $\omega$  – круговая частота.

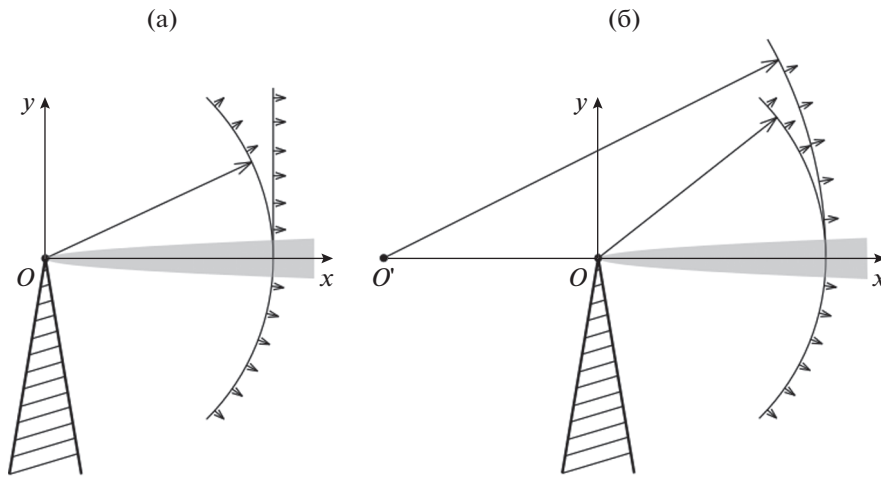


Рис. 1. Дифракция на клине плоской волны (а) и цилиндрической волны (б).

дельного луча, при больших отрицательных значениях  $z$ , асимптотика выражения (3) описывает дифрагированную цилиндрическую волну, расходящуюся из начала координат,

$$u \approx A(\varphi, k) \frac{\exp(ikr)}{\sqrt{kr}}. \quad (9)$$

Здесь  $A$  – диаграмма направленности (а по терминологии геометрической теории дифракции [3] – дифракционный коэффициент), имеющая при малых  $\varphi$  вид

$$A(\varphi, k) \approx -\frac{\exp(i\pi/4)}{2\sqrt{\pi}\varphi}. \quad (10)$$

Выше предельного луча, при больших положительных  $z$ , формула (3) описывает сложение ди-

фрагированной волны с падающей плоской волной (см. рис. 1):

$$u \approx \exp(ikx) - \frac{\exp(ikr + i\pi/4)}{2\sqrt{\pi kr}}. \quad (11)$$

Диаграмма волны (9) имеет особенность при  $\varphi \rightarrow 0$ , из чего следует ее непригодность вблизи предельного луча и необходимость описания волнового поля специальной функцией.

Дифракционный процесс слияния плоской волны с цилиндрической волной, имеющей диаграмму со степенной особенностью вида  $A \sim \varphi^\nu$  вблизи предельного луча, мы называем френелевским. Общее описание такого процесса дано Цепелевым [5], который путем разделения переменных в параболических координатах<sup>2</sup> построил семейство точных решений уравнения Гельмгольца (2):

$$u = CD_{-\nu-1} \left( 2\sqrt{kr} \cos \frac{\varphi}{2} \exp\left(-i\frac{\pi}{4}\right) \right) D_\nu \left( 2\sqrt{kr} \sin \frac{\varphi}{2} \exp\left(-i\frac{\pi}{4}\right) \right), \quad (12)$$

где  $D_\nu$  – функция параболического цилиндра [6],  $C$  – произвольная постоянная.

Поскольку имеют место соотношения

$$D_0(\sqrt{2Z} \exp(-i\pi/4)) = \exp(iZ^2/2) \quad (13)$$

и

$$D_{-1}(\sqrt{2Z} \exp(-i\pi/4)) = \sqrt{2\pi} \exp(-i\pi/4) \exp(-iZ^2/2) \Phi(-Z) \quad (14)$$

(см. [6]), выражение (3) является частным случаем (12). Решение из семейства (12) со значком  $\nu$  описывает слияние распространяющейся в области  $y > 0$  волны с фазой  $kx$  и амплитудой, про-

порциональной  $\varphi^{-\nu-1}$ , и цилиндрической волны с диаграммой, имеющей на предельном луче особенность  $\varphi^\nu$ . Конкретные задачи, в которых такие дифракционные коэффициенты возникают, – это задача о боковой (головной) волне ( $\nu = -3/2$ , [5]), дифракция на конусе ( $\nu = -3/2$ , [7]), а также дифракция на клине ( $\nu = -1$ , [3, 8, 9]) и на границе с различными особенностями кривизны ( $\nu \leq -1$ , [10–17]).

<sup>2</sup> Параболические координаты полезны в этих вопросах, поскольку в области (1), (6) разность фаз  $kr - kx$  можно считать постоянной на параболах  $x = Cy^2$ .

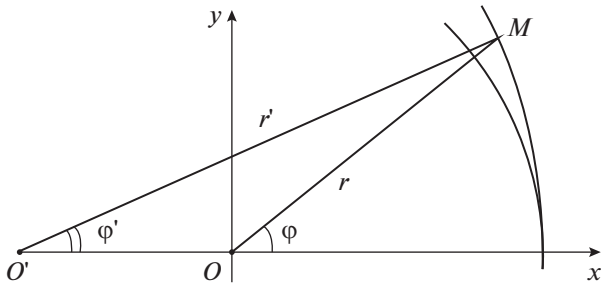


Рис. 2. Слияние двух цилиндрических волн.

Однако в ряде задач, в частности в задачах последнего типа, ни одна из сливающихся вблизи предельного луча волн – ни геометрически отраженная, ни дифрагированная – не может с достаточной точностью рассматриваться как плоская, поэтому необходимо более детальное описание и учет кривизны их фронтов. При этом естественным образом возникает вопрос об асимптотическом описании процесса слияния двух цилиндрических волн, причем одна из них (дифрагированная) присутствует по обе стороны от предельного луча, а другая (отраженная от гладкого участка границы) – только с одной стороны.

Для рассмотренной в ряде учебников [3, 8, 9] задачи дифракции цилиндрической волны на кромке клина, обобщающей упомянутую выше классическую задачу Френеля, простого равномерного по углу описания дифракционного поля нет. При естественном для дифракции Френеля предположении, что расстояние  $r_0$  от источника до вершины клина  $O$  велико –

$$kr_0 \gg 1, \quad (15)$$

равно как и расстояние  $r$  от кромки до точки наблюдения (1), слияние падающей цилиндрической волны от точечного источника с единичной амплитудой и дифрагированной цилиндрической волны, расходящейся из  $O$ , описывается выражением

$$u \approx \frac{\exp(ikr_0 + i\pi/4)}{2\sqrt{2\pi\sqrt{kr_0}}} \exp(ikr - i\zeta^2) \Phi(\zeta), \quad (16)$$

где

$$\zeta = \sqrt{kr} \rho / 2, \quad \rho = r_0 r / (r_0 + r), \quad (17)$$

см., например, в [8], в менее удобном виде – в [9]. Формула (16) получена в предположении, что выполнено неравенство (6). Похожее выражение встречалось и в других дифракционных задачах [12, 16–18]. Отметим, что при удалении источника на бесконечность вдоль оси  $x$ , т.е. при  $r_0 \rightarrow \infty$ , выражение для  $\zeta$  (17) переходит в  $z$  (7), а формула (16) – в (3).

Следует отметить, что термин дифракция Френеля распространился и на задачи с другой структу-

рой дифракционного поля, в частности, на случай гладкого выпуклого препятствия [19], где не возникает дифрагированной цилиндрической волны, однако выражения, аналогичные (3), в описании поля присутствуют. Выражения с интегралом Френеля (4) присутствуют и в задачах об угловых и краевых катастрофах, где изучаются падающие поля, более сложные, чем плоские и цилиндрические волны (например, [20, 21]). Мы придерживаемся в данной работе более классического понимания термина “дифракция Френеля”, имея в виду слияние цилиндрических волн, одна из которых имеет гладкую диаграмму направленности, а другая – диаграмму со степенной особенностью на предельном луче.

Цель данной работы – дать общее простое выражение для поля в переходных зонах френелевского типа. Для этого мы представим семейство точных решений уравнения Гельмгольца (2), удобных для описания слияния двух расходящихся цилиндрических волн, одна из которых присутствует лишь с одной стороны от предельного луча, а другая – с обеих. Наши построения основаны на разделении переменных в эллиптической системе координат, которая вводится так, чтобы цилиндрические волны расходились из ее фокусов.

В данной работе показано, что функции построенного семейства описывают френелевские волновые поля в ряде двумерных задачах дифракции на негладких контурах. Помимо классической дифракции цилиндрической волны на клине, к ним относятся задачи дифракции на контурах с негладкой кривизной. Условия, позволяющие приблизить в окрестности предельного луча отраженную волну цилиндрической волной (9), приводят к ограничениям на ширину переходной зоны. В частности, для контура со скачком кривизны переходная зона характеризуется неравенством [16]

$$kr\phi^3 \ll 1. \quad (18)$$

## 2. ОБЩЕЕ ОПИСАНИЕ ФРЕНЕЛЕВСКОГО ВОЛНОВОГО ПРОЦЕССА

Поместим источники цилиндрических волн в точки  $O = (0, 0)$  и  $O' = (-2a, 0)$  (рис. 2), причем волна из точки  $O'$  распространяется только в области  $y > 0$ , а значения фаз волн в точке  $O$  равны. Предельный луч, вблизи которого волны сливаются, в таком случае совпадает с положительной полуосью  $x$ .

Расстояние  $2a$  между источниками считается большим по сравнению с длиной волны:

$$ka \gg 1. \quad (19)$$

Условие (19) (ср. (15)) отвечает типичному для классической теории дифракции предположению,

что расстояние от препятствия до источника падающей волны много больше длины волны.

Нас интересует поле во *френелевской переходной зоне*, окружающей предельный луч, где угол  $\phi$  мал, а расстояние  $r$  от точки наблюдения  $M$  до  $O$  велико (1) (см. рис. 2). Отметим, что отсюда немедленно следует малость  $\phi'$ , а также неравенство  $kr' \gg 1$ , см. (1), (19).

2.1. Эллиптические координаты

Для описания поля будем использовать эллиптическую систему координат  $(\xi, \eta)$ :

$$\begin{aligned} x + a &= a \operatorname{ch} \xi \cos \eta, \quad y = a \operatorname{sh} \xi \sin \eta, \\ 0 \leq \xi, \quad -\pi < \eta \leq \pi, \end{aligned} \quad (20)$$

с фокусами в точках  $O$  и  $O'$  (см. рис. 2). Координатные линии  $\eta = \text{const}$  – гиперболы с фокусами в  $O$  и  $O'$ , и вблизи оси  $x$  примерно параллельны ей<sup>3</sup>. Значение  $\eta = 0$  соответствует оси  $x$ . Линии  $\xi = \text{const}$  образуют семейство эллипсов с теми же фокусами, и вблизи оси  $x$  идут поперек нее.

В дальнейшем будем помещать фокусы эллиптической системы координат в источники двух цилиндрических волн, которые будут сливаться вблизи положительной полуоси  $x$ , т.е. в области, где  $\eta$  мало, а  $\xi$  положительно.

Из (20) немедленно следует, что расстояния  $r$  и  $r'$  от точки  $M$  до фокусов  $O$  и  $O'$  (см. рис. 2) равны соответственно

$$r = a(\operatorname{ch} \xi - \cos \eta), \quad r' = a(\operatorname{ch} \xi + \cos \eta). \quad (21)$$

Из (21) для малых значений  $\eta$  получаем

$$\eta = \sqrt{\frac{2a + r - r'}{a}} \left( 1 + O\left(\frac{2a + r - r'}{a}\right) \right). \quad (22)$$

Из рассмотрения треугольника  $OMO'$ , следует, что

$$\begin{aligned} r' &= 2a + r - \frac{ar}{2a + r} \phi^2 (1 + O(\phi^2)), \\ r &= r' - 2a + \frac{ar'}{r' - 2a} (\phi')^2 (1 + O((\phi')^2)), \end{aligned} \quad (23)$$

и (22) переписывается в виде

$$\begin{aligned} \eta &= \sqrt{\frac{r}{r + 2a}} \phi (1 + O(\phi^2)) = \\ &= \sqrt{\frac{r'}{r' - 2a}} \phi' (1 + O((\phi')^2)). \end{aligned} \quad (24)$$

Отметим, что  $r + 2a$  и  $r' - 2a$  можно заменить на  $r'$  и  $r$  соответственно с точностью до  $O(2ar\phi^2/r')$ .

<sup>3</sup> Вдоль этих линий разность фаз двух волн постоянна,  $r' - r = \text{const}$ .

Кроме того, есть более симметричное выражение  $\eta \approx \sqrt{rr'}(\phi - \phi')/2a$ .

2.2. Семейство точных решений

Записав уравнение Гельмгольца (2) в эллиптических координатах (20) (см., например, [4]):

$$\frac{\partial^2 u}{\partial \xi^2} + \frac{\partial^2 u}{\partial \eta^2} + k^2 a^2 (\operatorname{sh}^2 \xi + \sin^2 \eta) u = 0, \quad (25)$$

будем решать его методом разделения переменных. Положим  $u(\xi, \eta) = P(\xi)Q(\eta)$ , тогда функции  $P$  и  $Q$  удовлетворяют уравнениям

$$P''(\xi) + (k^2 a^2 \operatorname{sh}^2 \xi - \lambda) P(\xi) = 0, \quad (26)$$

$$Q''(\eta) + (k^2 a^2 \sin^2 \eta + \lambda) Q(\eta) = 0, \quad (27)$$

с комплексным параметром разделения  $\lambda$ , которые элементарными преобразованиями могут быть сведены к уравнению Матье (см., например, [6]), теория которого нам не потребуется.

Наша цель – описать высокочастотное поле в окрестности предельного луча не слишком близко к  $O$ , а именно в области, где выполнены условия (19) и  $\phi \ll 1$ , т.е.

$$\eta \ll 1, \quad \xi \gg 1/\sqrt{ka}, \quad (28)$$

см. (21). Для этого построим асимптотики решений уравнения (26) при положительных не слишком малых  $\xi$  и уравнения (27) при малых  $\eta$  любого знака. Нас интересуют только параметры разделения вида

$$\lambda = -ika(2\nu + 1), \quad \nu < 0. \quad (29)$$

Именно отрицательные  $\nu$ , как мы увидим ниже, возникают при описании френелевских переходных зон. Соответствующее решение уравнения (25) обозначим

$$u_\nu(\xi, \eta) = P_\nu(\xi)Q_\nu(\eta). \quad (30)$$

2.3. Асимптотика решения уравнения (26)

Найдем асимптотику решения (26), отвечающего уходящей волне, в приближении (19). С помощью стандартного метода Вентцеля–Крамерса–Бриллюэнна (см., например, [4]), с точностью до произвольного постоянного множителя получим

$$\begin{aligned} P_\nu(\xi) &= \frac{\exp\left(ika \int^\xi \sqrt{\operatorname{sh}^2 t + i(2\nu + 1)/ka} dt\right)}{\sqrt[4]{\operatorname{sh}^2 \xi + i(2\nu + 1)/ka}} \times \\ &\times \left(1 + O\left(\frac{1}{ka}\right)\right). \end{aligned} \quad (31)$$

Здесь учтено выражение для параметра разделения (29). В области (28), очевидно, выполнено неравенство  $kash^2\xi \gg 1$ . Используя его, получим

$$\int_0^\xi \sqrt{\text{sh}^2 t + i \frac{2\nu + 1}{ka}} dt = \int_0^\xi \left( \text{sh} t + i \frac{2\nu + 1}{2kash t} + O\left(\frac{1}{(ka)^2 \text{sh}^3 t}\right) \right) dt = \text{ch} \xi + i \frac{2\nu + 1}{4ka} \ln \frac{\text{ch} \xi - 1}{\text{ch} \xi + 1} + O\left(\frac{1}{(ka)^2 (\text{ch} \xi - 1)}\right). \quad (32)$$

Подставляя (32) в (31), находим

$$P_\nu(\xi) = \frac{\exp\left(ikach\xi - \frac{2\nu + 1}{4} \ln \frac{\text{ch} \xi - 1}{\text{ch} \xi + 1}\right)}{\sqrt[4]{\text{ch}^2 \xi - 1}} \times \left(1 + O\left(\frac{1}{ka(\text{ch} \xi - 1)}\right)\right) = \frac{(\text{ch} \xi + 1)^{\frac{\nu}{\nu+1}} \exp(ikach\xi)}{(\text{ch} \xi - 1)^{\frac{\nu}{2}}} \times \left(1 + O\left(\frac{1}{ka(\text{ch} \xi - 1)}\right)\right). \quad (33)$$

Поправочные члены малы в области, где выполнено неравенство (1), см. (19) и (21).

2.4. Асимптотика решения уравнения (27)

Преобразуем уравнение (27) при малых  $\eta$ , разложив  $\sin \eta$  по степеням  $\eta$ :

$$Q_\nu''(\eta) + (k^2 a^2 \eta^2 - ika(2\nu + 1))Q_\nu(\eta) = O(k^2 a^2 \eta^4 Q_\nu(\eta)). \quad (34)$$

Сделаем замену переменной

$$H = \sqrt{2ka} \eta \exp(-i\pi/4), \quad (35)$$

придем к уравнению

$$Q_\nu''(H) + \left(\nu + \frac{1}{2} - \frac{H^2}{4}\right)Q_\nu(H) = O\left(\frac{H^4}{ka}\right)Q_\nu(H). \quad (36)$$

Таким образом, в области, где  $H$  (и, соответственно,  $\eta$ ) достаточно мало, одно из решений уравнения (36) асимптотически совпадает с функцией параболического цилиндра  $D_\nu$  [6]:

$$Q_\nu(H) \approx D_\nu(-H). \quad (37)$$

Можно показать [22], что соответствующая область характеризуется неравенством  $ka|\eta|^\mu \ll 1$ ,  $\mu = 2 + 4/(1 - 3\nu)$  (для отрицательных значений  $\nu$ , рассматриваемых нами,  $\mu > 2$ ).

2.5. Геометрооптическая интерпретация асимптотики функции (30)

Для отвечающего уходящей волне решения (30) уравнения (25) с  $\nu < 0$  из формул (33) и (37) вытекает следующее асимптотическое выражение вблизи предельного луча:

$$u_\nu(\xi, \eta) \approx C \frac{(\text{ch} \xi + 1)^{\frac{\nu}{\nu+1}} \exp(ikach\xi)}{(\text{ch} \xi - 1)^{\frac{\nu}{2}}} D_\nu(-H). \quad (38)$$

Здесь  $H$  определено в (35),  $C$  – произвольная постоянная. Представление (38) пригодно в области, где выполнены неравенства (1) и

$$kr|\varphi|^\mu \ll 1, \quad \text{где } \mu = 2 + \frac{4}{1 - 3\nu}. \quad (39)$$

Отметим, что чем больше модуль  $\nu$ , тем уже область, описываемая (39). Тем не менее, при каждом  $\nu < 0$  аргумент функции параболического цилиндра  $H$  может принимать там большие значения.

Обсудим геометрический смысл величин, входящих в (38). С помощью соотношений (21) и (24) множитель перед экспонентой выражается через расстояния  $r$  и  $r'$  до фокусов  $O$  и  $O'$  – источников цилиндрических волн:

$$\frac{(\text{ch} \xi + 1)^{\frac{\nu}{\nu+1}}}{(\text{ch} \xi - 1)^{\frac{\nu}{2}}} = \sqrt{\frac{a}{r}} \left(\frac{r + 2a}{r}\right)^{\frac{\nu}{2}} \left(1 + O\left(\frac{r\varphi^2}{r + 2a}\right)\right) = \sqrt{\frac{a}{r'}} \left(\frac{r'}{r' - 2a}\right)^{\frac{\nu+1}{2}} \left(1 + O\left(\frac{r'(\varphi')^2}{r' - 2a}\right)\right). \quad (40)$$

Показатель экспоненты в (38) с помощью соотношений (21) и (35) переписывается следующим образом:

$$ikach\xi = ika + ikr + \frac{H^2}{4} + O\left(\frac{H^4}{ka}\right) = -ika + ikr' - \frac{H^2}{4} + O\left(\frac{H^4}{ka}\right). \quad (41)$$

Теперь рассмотрим аргумент функции параболического цилиндра. Из соотношений (35) и (22) вытекает, что

$$H \approx \sqrt{2k(2a + r - r')} \exp(-i\pi/4), \quad (42)$$

т.е.  $H$  выражается через разность значений фаз цилиндрических волн, расходящихся из  $O$  и  $O'$ . С

помощью соотношения (24) получим еще два представления:

$$H = \sqrt{\frac{2kar}{r+2a}} \varphi \exp\left(-i\frac{\pi}{4}\right) \left(1 + O\left(\frac{r\varphi^2}{r+2a}\right)\right) = \sqrt{\frac{2kar'}{r'-2a}} \varphi' \exp\left(-i\frac{\pi}{4}\right) \left(1 + O\left(\frac{r'(\varphi')^2}{r'-2a}\right)\right). \quad (43)$$

В результате можно записать (38) в геометрических терминах:

$$u_v \approx C \sqrt{\frac{a}{r}} \left(\frac{r+2a}{r}\right)^{\frac{v}{2}} \exp\left(ik\left(r+a - \frac{ar\varphi^2}{2(r+2a)}\right)\right) \times D_v\left(-\sqrt{\frac{2kar}{r+2a}} \varphi \exp\left(-i\frac{\pi}{4}\right)\right) \approx C \sqrt{\frac{a}{r'}} \left(\frac{r'}{r'-2a}\right)^{\frac{v+1}{2}} \exp\left(ik\left(r'-a + \frac{ar'(\varphi')^2}{2(r'-2a)}\right)\right) \times D_v\left(-\sqrt{\frac{2kar'}{r'-2a}} \varphi' \exp\left(-i\frac{\pi}{4}\right)\right). \quad (44)$$

В той части переходной зоны (1), (39), где аргумент функции  $D_v$  велик, заменим ее в (38) асимптотикой [6]. Ниже предельного луча, при  $\varphi < 0$ , имеем одну цилиндрическую волну:

$$u_v \approx A_v(\varphi; k) \frac{\exp(ikr)}{\sqrt{kr}}, \quad (45)$$

а выше, при  $\varphi > 0$  – две:

$$u_v \approx A_v(\varphi; k) \frac{\exp(ikr)}{\sqrt{kr}} + A'_v(\varphi'; k) \frac{\exp(ikr')}{\sqrt{kr'}}, \quad (46)$$

где

$$A_v(\varphi; k) = 2^{\frac{v}{2}} C (ka)^{\frac{v+1}{2}} \varphi^v \exp\left(ika - i\frac{\pi v}{4}\right), \quad A'_v(\varphi'; k) = -C \frac{\sqrt{\pi}}{\Gamma(-v)} \frac{(\varphi')^{-v-1}}{(2ka)^{\frac{v}{2}}} \times \exp\left(-ika + i\frac{\pi(5v+1)}{4}\right). \quad (47)$$

Выражение (45) и совпадающее с ним первое слагаемое в (46) описывают цилиндрическую волну, расходящуюся из точки  $O$ . Второе слагаемое в (46) отвечает цилиндрической волне, расходящейся из точки  $O'$ . Отметим, что чем сингулярнее диаграмма цилиндрической волны на предельном луче, тем уже область (39) пригодности выражения (38).

Рассмотрим приложение полученных результатов в конкретных дифракционных задачах.

### 3. ДИФРАКЦИЯ НА КЛИНЕ

Убедимся, что выражение (38) с  $v = -1$  описывает процесс слияния падающей цилиндрической и дифрагированной цилиндрической волн в классической двумерной задаче дифракции на клине. Действительно, вследствие формулы (14) выражение (38) совпадает с известным (16) (например, [3, 8, 9]) при надлежащем выборе постоянного множителя. А именно, следует принять

$$C = \exp(ikr_0/2 + i\pi/4)/2\pi\sqrt{2kr_0}. \quad (48)$$

Асимптотика выбранной функции (38) при условии (8) ниже предельного луча имеет вид (45), а выше предельного луча – (46), где расходящаяся из точки  $O'$  волна отвечает падающей волне, а расходящаяся из  $O$  – дифрагированной волне. Их диаграммы при малых  $\varphi$  имеют следующие выражения:

$$A^{\text{пад}} = \frac{\exp(i\pi/4)}{2\sqrt{2\pi}}, \quad A^{\text{диф}} = \frac{i \exp(ikr_0)}{4\pi\varphi \sqrt{kr_0}}. \quad (49)$$

Заметим, что неравенство (39) при  $v = -1$  сводится к (18) и описывает более узкую область, чем (6). Это связано с тем, что простые оценки [22], приводящие к условию (39), не являются предельно точными.

### 4. ДИФРАКЦИЯ НА КОНТУРАХ С НЕГЛАДКОЙ КРИВИЗНОЙ

#### 4.1. Предварительные замечания

В этом разделе мы убедимся в том, что построенные выше решения встречаются в ряде двумерных задач дифракции коротких волн на контурах, кривизна которых гладкая всюду, за исключением одной точки  $O$ , где имеет скачок или более слабую особенность.

Пусть падающая волна  $u^{\text{пад}}$  – цилиндрическая, расходящаяся из точки  $M_0$ , расположенной на расстоянии  $r_0$  от точки  $O$ , приходит в  $O$  некасательно – под углом скольжения  $\varphi_0 > 0$  (рис. 3). Начало координат поместим в точку  $O$ , а ось  $x$  направим вдоль предельного (геометрически отраженного в  $O$ ) луча. Положение точки наблюдения  $M$  будем характеризовать расстоянием  $r$  до точки  $O$  и углом  $\varphi$  между осью  $x$  и направлением на точку  $M$ .

Начнем с качественного обсуждения волнового процесса. Уходящее волновое поле  $u^{\text{yx}}$  вдали от предельного луча складывается из волны, дифрагированной точкой негладкости  $u^{\text{диф}}$ , и волн  $u_{\pm}^{\text{отр}}$ , геометрически отраженных от гладких частей контура слева и справа от  $O$ :

$$u^{\text{yx}}(M) = u^{\text{диф}}(M) + u_{\pm}^{\text{отр}}(M). \quad (50)$$

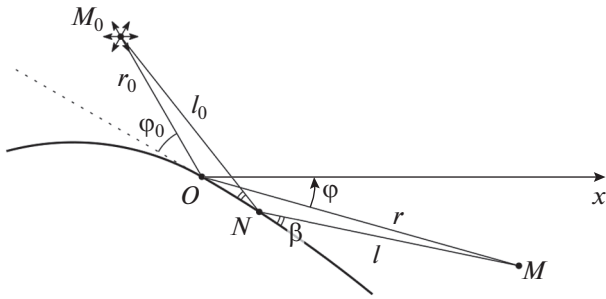


Рис. 3. Дифракция на контуре с негладкой кривизной.

Знак “-” отвечает точкам наблюдения  $M$ , лежащим выше, а “+” – ниже предельного луча.

В области, где выполнено неравенство (8), дифрагированная волна представляет собой цилиндрическую волну (9), расходящуюся из точки  $O$ . Ее диаграмма, как известно [11–17], имеет на предельном луче степенную сингулярность по углу.

Выражения для геометрически отраженных от гладких частей контура волн  $u_{\pm}^{отр}$  в случае некасательного падения можно найти лучевым методом (например, [23]). Они имеют вид

$$u_{\pm}^{отр}(M) = \mathcal{C} \frac{\exp(ik\tau + i\pi/4)}{\sqrt{k\mathcal{F}}} \left(1 + O\left(\frac{1}{k\mathcal{F}}\right)\right), \quad (51)$$

$$\mathcal{F} = l_0 + l + \frac{2\alpha l_0 l}{\sin \beta}.$$

Здесь  $l_0$  и  $l$  – расстояния от точки источника  $M_0$  и от точки наблюдения  $M$  до точки геометрического отражения  $N$  соответственно;  $\tau = l_0 + l$  – значение эйконала (геометрического времени пробега) в точке  $M$ ;  $\mathcal{F}$  – геометрическое расхождение лучей,  $\beta$  – угол скольжения,  $\alpha$  – значение кривизны в точке  $N$  (см. рис. 3). Наконец,  $\mathcal{C}$  зависит от интенсивности и диаграммы направленности источника падающей на контур цилиндрической волны, а также от граничного условия на контуре. Для ненаправленного источника единичной амплитуды и условия Дирихле  $\mathcal{C} = -1/2\sqrt{2\pi}$  [23].

На предельном луче фазы геометрически отраженных волн и дифрагированной волны совпадают, что позволяет говорить о слиянии этих волн и возникновении френелевской переходной зоны. Если кривизна контура терпит в  $O$  скачок, то выражение (51), очевидно, терпит разрыв на предельном луче и пригодно лишь на некотором удалении от него. Вблизи предельного луча, в переходной зоне, поле должно описываться соответствующей специальной функцией, сглаживающей и эту особенность, и сингулярность дифрагированной волны. Поскольку, как и в случае дифракции на клине, геометрооптическое поле терпит на предельном луче разрыв, естественно, что здесь возникает ин-

теграл Френеля. Однако, в отличие от классической задачи, геометрооптическое поле ненулевое с обеих сторон от предельного луча, и описание его слияния с дифрагированной волной требует двух интегралов Френеля от разных аргументов [10, 12, 16].

В случае же более гладкой кривизны контура выражение (51) непрерывно и описывает геометрически отраженное поле в главном порядке, а френелевское поле представляет собой поправку к нему и описывается функцией параболического цилиндра со значком  $\nu < -1$  [14, 15, 17].

#### 4.2. Дифракция на контуре со скачком кривизны

Рассмотрим контур, у которого кривизна  $\alpha$  в точке  $O$  имеет скачок:

$$\alpha = \begin{cases} \alpha_- & \text{слева от } O, \\ \alpha_+ & \text{справа от } O, \end{cases} \quad (52)$$

причем  $[\alpha] = \alpha_+ - \alpha_- \neq 0$  может быть любого знака. Здесь и далее падающая волна приходит в точку  $O$  некасательно.

В [16] в рамках метода Кирхгофа получено следующее выражение для поля в переходной зоне на умеренных расстояниях  $\alpha_{\pm} r \lesssim 1$  от  $O$ :

$$u^{yx} = \mathcal{C} \frac{\exp(ik(r_0 + r) + i\pi/4)}{\sqrt{k(r_0 + r)}} \times$$

$$\times \left( \frac{\exp(-i\zeta^2/J_+)}{\sqrt{J_+}} \Phi\left(-\frac{\zeta}{\sqrt{J_+}}\right) + \frac{\exp(-i\zeta^2/J_-)}{\sqrt{J_-}} \Phi\left(\frac{\zeta}{\sqrt{J_-}}\right) \right), \quad (53)$$

где  $\Phi$  – интеграл Френеля (4), величина  $\zeta$  определена в (17),

$$J_{\pm} = 1 + \frac{2\alpha_{\pm} \rho}{\sin \phi_0}, \quad (54)$$

а  $\mathcal{C}$  – та же постоянная, что и в (51). Область пригодности формулы (53) описывается неравенствами (1) и (18) – они обеспечивают сшивание асимптотики (53) с лучевыми формулами (51) для волн, геометрически отраженных от гладких частей контура.

Покажем, что выражение (53) переписывается через функции построенного нами семейства (38). Введем величину

$$2a_{\pm} = \frac{r_0}{1 + 2\alpha_{\pm} r_0 / \sin \phi_0}, \quad (55)$$

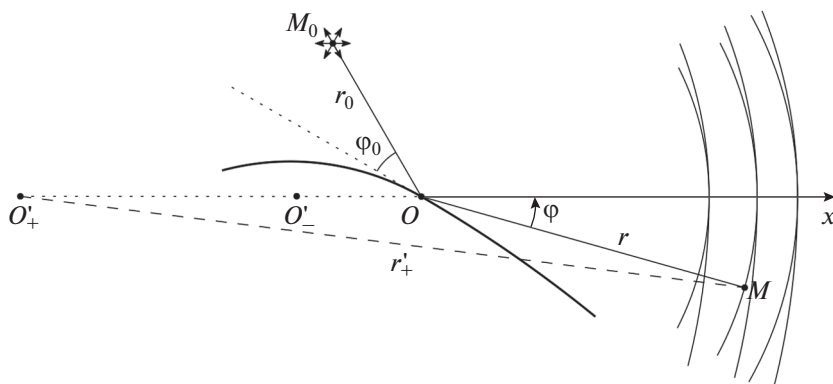


Рис. 4. Дифракция на скачке кривизны.

геометрическую интерпретацию которой дадим ниже. Тогда

$$\frac{\zeta^2}{J_{\pm}} = \frac{krr_0\varphi^2}{2(r_0 + r(1 + 2\alpha_{\pm}r_0/\sin\varphi_0))} = \frac{ka_{\pm}r\varphi^2}{r + 2a_{\pm}}, \quad (56)$$

и с учетом формулы (14) выражение (53) принимает вид суммы двух функций семейства (38) с  $\nu = -1$ :

$$u^{yx} = U_+ + U_-, \quad (57)$$

где

$$U_{\pm} = \frac{\mathcal{C}}{\sqrt{kr_0}} \sqrt{\frac{a_{\pm}}{r + 2a_{\pm}}} \times \exp\left(ik\left(r + r_0 - \frac{a_{\pm}r\varphi^2}{2(r + 2a_{\pm})}\right) + i\frac{\pi}{4}\right) \times D_{-1}\left(\pm\sqrt{\frac{2ka_{\pm}r}{r + 2a_{\pm}}}\varphi \exp\left(-i\frac{\pi}{4}\right)\right). \quad (58)$$

Таким образом, найденная в рамках метода Кирхгофа [16] формула укладывается в построенную теорию. Заметим, что неравенство (39) при  $\nu = -1$  совпадает с неравенством (18).

Поясним геометрический смысл величин (55). В переходной области, где выполнено неравенство (18), выражения для отраженных волн (51) аппроксимируются цилиндрическими волнами (9), исходящими из точек  $O'_{\pm}$ , лежащих на продолжении предельного луча на расстояниях  $2a_{\pm}$  от точки  $O$  (рис. 4). Действительно, в [16] показано, что лучевые выражения (51) для геометрически отраженных волн  $u_{\pm}^{\text{отр}}$  при условии (18) преобразуются к виду

$$u_{\pm}^{\text{отр}} \approx \mathcal{C} \frac{\exp\left(ik\left(r + r_0 - \rho^2\varphi^2/2J_{\pm}\right) + i\pi/4\right)}{\sqrt{kJ_{\pm}(r + r_0)}}, \quad (59)$$

$$J_{\pm} = 1 + \frac{2\alpha_{\pm}\rho}{\sin\varphi_0},$$

где величина  $\rho$  определена в (17). Расстояния  $r'_{\pm}$  от  $O'_{\pm}$  до точки наблюдения  $M$  равны соответственно

$$r'_{\pm} = \sqrt{r^2 + 4a_{\pm}^2 + 2a_{\pm}r\cos\varphi} = 2a_{\pm} + r - \frac{\rho}{2J_{\pm}}\varphi^2 + O\left(\frac{\rho}{J_{\pm}}\varphi^4\right). \quad (60)$$

Легко видеть, что, с точностью до малых членов, величины  $kr'_{\pm}$  отличаются от фаз соответствующих экспонент в (59) лишь на постоянное слагаемое  $r_0 - 2\alpha_{\pm}$ , а выражение в знаменателе (59) переписывается в виде  $J_{\pm}(r_0 + r) \approx r_0r'_{\pm}/2a_{\pm}$ . Таким образом, в переходной зоне (18) формулы (59) для геометрически отраженных волн  $u_{\pm}^{\text{отр}}$  преобразуются к виду (9):

$$u_{\pm}^{\text{отр}} \approx A_{\pm}^{\text{отр}} \frac{\exp(ikr'_{\pm})}{\sqrt{kr'_{\pm}}}, \quad (61)$$

$$A_{\pm}^{\text{отр}} = \mathcal{C} \sqrt{\frac{2a_{\pm}}{r_0}} \exp\left(ik(r_0 - 2a_{\pm}) + i\frac{\pi}{4}\right).$$

В [16] показано, что на малых расстояниях  $\alpha_{\pm}r \ll 1$  аргументы интегралов Френеля в формуле (53) становятся близки и в результате поле аппроксимируется выражением, содержащим одну функцию параболического цилиндра  $D_{-3}(\sqrt{2}\zeta \exp(i\pi/4))$ . Отметим, что это выражение также является частным случаем формулы (38).

### 4.3. Дифракция на контуре с "гельдеровской" сингулярностью кривизны

Теперь рассмотрим контур, кривизна которого в точке  $O$  имеет особенность вида

$$\alpha(s) = \begin{cases} \alpha_0 & \text{при } s \leq 0, \\ \alpha_0 + hs^{\lambda} & \text{при } s > 0, \end{cases} \quad 0 < \lambda < 1. \quad (62)$$



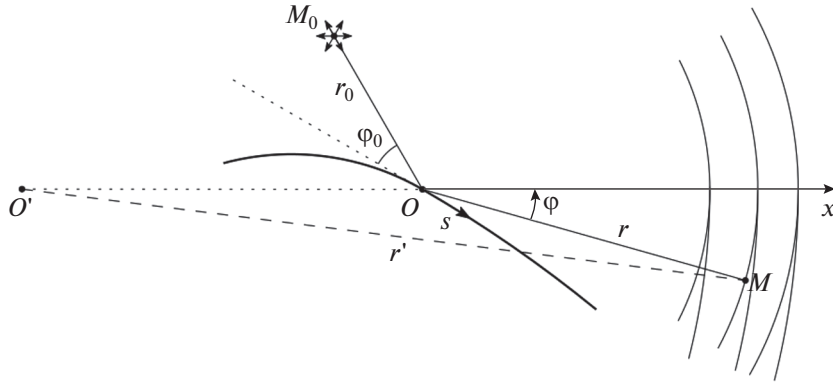


Рис. 5. Дифракция на контуре с “гельдеровской” сингулярностью кривизны.

Здесь  $s$  – длина дуги контура, отсчитываемая от точки негладкости  $O$  в направлении оси  $x$  (рис. 5), а  $\alpha_0$  и  $h \neq 0$  – константы, причем  $h$  может быть любого знака. В [14] такая особенность названа “гельдеровской” сингулярностью. Как и раньше, падающая волна приходит в сингулярную точку контура некасательно.

В [17] с помощью метода Кирхгофа получена асимптотика для уходящего поля вблизи предельного луча на умеренных расстояниях  $\alpha_0 r \leq 1$  от  $O$ . В главном порядке поле дается выражением (51), которое непрерывно, но не гладко на предельном луче, и имеет вид

$$u_0^{yx} = \mathcal{C} \frac{\exp(ik(r+r_0) - i\zeta^2/J + i\pi/4)}{\sqrt{kJ(r+r_0)}}, \quad (63)$$

$$J = 1 + \frac{2\alpha_0 \rho}{\sin \varphi_0},$$

а эффект от “гельдеровской” сингулярности носит поправочный характер и описывается выражением

$$u_h^{yx} = -h \mathcal{C} \sqrt{\frac{2}{\pi}} \frac{\Gamma(1+\lambda) \exp(i\lambda\pi/4)}{(\sin \varphi_0)^{1+\lambda}} \frac{\rho^{1+\frac{\lambda}{2}}}{k^{\frac{\lambda}{2}} J^{\frac{1+\lambda}{2}}} \times$$

$$\times \frac{\exp(ik(r_0+r_1) - i\zeta^2/2J + i\pi/4)}{\sqrt{kJ(r_0+r_1)}} \times \quad (64)$$

$$\times D_{-3-\lambda} \left( \sqrt{\frac{2}{J}} \zeta \exp(-i\frac{\pi}{4}) \right).$$

Здесь величина  $\zeta$  определена в формуле (17). Асимптотика (63), (64) для поля применима в области, где выполнены неравенства (1), (18) и

$$kh(r|\varphi|)^{2+\lambda} \ll 1, \quad (65)$$

обеспечивающие сшивание с лучевой формулой для отраженной волны.

Покажем, что функция (64) принадлежит семейству (38). Действительно, если принять

$$2a = \frac{r_0}{1 + 2\alpha_0 r_0 / \sin \varphi_0}, \quad (66)$$

то (64) переписывается в виде

$$u_h^{yx} = -h \mathcal{C} \sqrt{\frac{2}{\pi}} \frac{\Gamma(1+\lambda) \exp(i\pi(1+\lambda)/4)}{(\sqrt{k} \sin \varphi_0)^{1+\lambda}} \times$$

$$\times \frac{1}{\sqrt{r_0 r}} \left( \frac{2ar}{r+2a} \right)^{\frac{3+\lambda}{2}} \exp\left( ik \left( r + r_0 - \frac{ar\varphi^2}{2(r+2a)} \right) \right) \times \quad (67)$$

$$\times D_{-3-\lambda} \left( \sqrt{\frac{2kar}{r+2a}} \varphi \exp(-i\frac{\pi}{4}) \right).$$

Поясним геометрический смысл величины (66). В [17] проведено асимптотическое упрощение лучевой формулы (51) для отраженной волны в области (8), (18) и (65). Установлено, что в главном порядке отраженное поле описывается выражением (63), а влияние на него “гельдеровской” сингулярности является поправкой. Оно проявляется только ниже предельного луча, при  $\varphi < 0$ , и имеет вид

$$u_h^{отр} = -\mathcal{C} \frac{2kh\rho^{2+\lambda} (-\varphi)^{2+\lambda}}{(2+\lambda)(1+\lambda)J^{2+\lambda} (\sin \varphi_0)^{1+\lambda}} \times \quad (68)$$

$$\times \frac{\exp(ik(r+r_0 - \rho\varphi^2/2J) - i\pi/4)}{\sqrt{kJ(r+r_0)}}.$$

В области своей применимости выражение (68) допускает аппроксимацию цилиндрической волной, которая расходится из точки  $O'$ , расположенной на продолжении предельного луча на расстоянии  $2a$  от точки  $O$  (см. рис. 5). Действительно, расстояние от  $O'$  до точки  $O$  наблюдения записывается совершенно аналогично (60) и отличается от фазы

экспоненты в (68) лишь на постоянное слагаемое  $r_0 - 2a$ , откуда нетрудно получить, что

$$u_h^{\text{отр}} = A^{\text{отр}} \frac{\exp(ikr')}{\sqrt{kr'}}, \quad A^{\text{отр}} = -\sqrt{\frac{2a}{r_0}} \times \frac{2kh(-2a\phi')^{2+\lambda} \exp(ik(r_0 - 2a) - i\pi/4)}{(2 + \lambda)(1 + \lambda)(\sin\phi_0)^{1+\lambda}}. \quad (69)$$

В случае “гельдеровской” сингулярности кривизны на ширину переходной зоны накладываются ограничения (18) и (65), более жесткие, чем неравенство (39) с  $\nu = -3 - \lambda$ , и даже чем соответствующие ограничения в случае скачка кривизны, что объясняется более сложной геометрией фронта отраженной от контура волны.

#### 4.4. Дифракция на контуре с особенностью производной кривизны

Допустим теперь, что производная кривизны контура  $\varkappa^{(j)}(s) = d^j \varkappa / ds^j$  порядка  $j \geq 1$  в точке  $O$  имеет скачок с амплитудой  $h$ . Как и в случае “гельдеровской” сингулярности кривизны, рассмотренной в разд. 4.3, здесь уходящее поле в главном порядке характеризуется лучевой формулой (51), а эффект негладкости кривизны имеет характер малой поправки. Сравнение выражения для поля в окрестности предельного луча [15, 17] с формулами (45)–(47) показывает, что влияние негладкости производной кривизны порядка  $j$  на уходящее поле в переходной зоне описывается функцией семейства (38), причем  $\nu = -3 - j$ . В полярных координатах она имеет вид (64), где  $\lambda$  следует заменить на  $j$ . Ширина переходной зоны характеризуется неравенством (39) с  $\nu = -3 - j$  (отметим, что при  $\nu < -3$  это ограничение жестче, чем условие (18)).

Случай, когда производная  $\varkappa^{(j)}(s)$ ,  $j \geq 1$ , имеет в точке  $O$  “гельдеровскую” сингулярность (62), рассматривается аналогично. Влияние негладкости кривизны на уходящее поле описывается функцией семейства (38) со значком  $\nu = -3 - j - \lambda$ .

### ЗАКЛЮЧЕНИЕ

Главным результатом работы является получение простых удобных выражений для общего описания френелевских переходных зон.

Построено семейство точных решений уравнения Гельмгольца для описания слияния двух волн с неплоскими фронтами. Продемонстрировано, что функции этого семейства описывают поля в задачах дифракции на контурах с неглад-

кой кривизной в переходной зоне на умеренном расстоянии от точки негладкости. Область пригодности построенных выражений зависит, с одной стороны, от сингулярностей диаграмм волн на предельном луче и, с другой – от геометрии фронтов волн. С увеличением гладкости кривизны контура переходная зона сужается.

Интересным представляется вопрос о численном моделировании волнового поля на основе полученных формул, которое позволило бы выявить их области пригодности в реальных ситуациях.

Авторы заявляют об отсутствии конфликта интересов.

### БЛАГОДАРНОСТИ

Авторы признательны участникам Всероссийского семинара “Математическое моделирование волновых процессов” (Российский новый университет) и лично Д.С. Лукину, А.С. Крюковскому, Е.А. Палкину, В.Т. Полякову и А.В. Попову за полезное обсуждение результатов.

### ФИНАНСИРОВАНИЕ РАБОТЫ

Работа выполнена при финансовой поддержке Российского научного фонда (проект № 22-21-00557).

### СПИСОК ЛИТЕРАТУРЫ

1. *Малюжинец Г.Д.* // Успехи физ. наук. 1959. Т. 69. № 2. С. 321.
2. *Борн М., Вольф Э.* Основы оптики. М.: Наука, 1973.
3. *Боровиков В.А., Кинбер Б.Е.* Геометрическая теория дифракции. М.: Связь, 1978.
4. *Морс Ф.М., Фешбах Г.* Методы математической физики. М.: Изд-во иностр. лит., 1960. Т. 2.
5. *Целев Н.В.* // Зап. научн. сем. ЛОМИ. 1975. Т. 51. С. 197.
6. *Бейтмен Г., Эрдейи А.* Высшие трансцендентные функции. М.: Наука, 1973. Т. 2.
7. *Popov A., Ladyzhensky (Brodskaaya) A., Khozioski S.* // Russ. J. Math. Phys. 2009. Т. 16. № 2. С. 296.
8. *Уфимцев П.Я.* Теория дифракционных краевых волн в электродинамике. М.: Бином, 2012.
9. *Ландау Л.Д., Лифшиц Е.М.* Теория поля. М.: Физматгиз, 1963.
10. *James G.L.* Geometrical Theory of Diffraction for Electromagnetic Waves. L.: Peter Peregrinus Ltd, 1986.
11. *Kaminetzky L., Keller J.B.* // SIAM J. Appl. Math. 1972. V. 22. № 1. P. 109.
12. *Rogoff Z.M., Kiselev A.P.* // Wave Motion. 2001. V. 33. № 2. P. 183.
13. *Zlobina E.A., Kiselev A.P.* // Wave Motion. 2020. V. 96. Article No. 102571.

14. Злобина Е.А., Киселев А.П. // Алгебра и анализ. 2021. Т. 33. № 2. С. 35.
15. Злобина Е.А. // Зап. научн. сем. ПОМИ. 2020. Т. 493. С. 169.
16. Злобина Е.А., Киселев А.П. // РЭ. 2022. Т. 67. № 2. С. 130.
17. Злобина Е.А. // Зап. научн. сем. ПОМИ. 2021. Т. 506. С. 43.
18. Попов А.В. // Акуст. журн. 1973. Т. 19. № 4. С. 594.
19. Фок В.А. Проблемы дифракции и распространения волн. М.: Наука, 1975.
20. Крюковский А.С., Лукин Д.С., Палкин Е.А., Растягаев Д.В. // РЭ. 2006. Т. 51. № 10. С. 1155.
21. Крюковский А.С. Равномерная асимптотическая теория краевых и угловых волновых катастроф. М.: РосНОУ, 2013.
22. Злобина Е.А. // Мат. заметки. 2023. Т. 114. № 4. С. 666.
23. Бабич В.М., Булдырев В.С. Асимптотические методы в задачах дифракции коротких волн. Метод эталонных задач. М.: Наука, 1972.